

ИНТЕГРОДИФФЕРЕНЦИАЛЬНЫЙ МЕТОД ОПРЕДЕЛЕНИЯ ЗАКОНОВ ГОРЕНИЯ КОНДЕНСИРОВАННЫХ СИСТЕМ В УСЛОВИЯХ ПОСТОЯННОГО ОБЪЕМА

Ю. П. Хоменко, А. Н. Ищенко, Н. М. Саморокова

НИИ прикладной математики и механики при ТГУ, 634050 Томск

Изложена методика обработки результатов манометрических испытаний зерненных образцов твердого топлива, позволяющая установить зависимость скорости горения от давления и определить текущую поверхность горения с учетом воспламенительного периода и периода догорания. Предлагаемая методика совмещает основные преимущества интегрального и дифференциального методов. Приведены результаты экспериментальных исследований для трех составов.

Манометрическая бомба является одним из основных инструментов определения законов горения конденсированных систем. При этом идентификация законов горения и газообразования проводится на основе обработки экспериментально полученной зависимости давления газообразных продуктов горения от времени [1, 2]. Указанная зависимость позволяет однозначно установить газоприход, равный произведению массовой скорости горения на площадь горящей поверхности. В тех случаях, когда поверхность горения известна, легко установить и скорость горения [2]. Однако использование этой методики предполагает работу со специально изготовленными образцами топлива, имеющими правильную форму.

В случае зерненных образцов ситуация осложняется тем, что поверхность горения не может быть определена достаточно точно. Это связано, с одной стороны, с различием геометрических характеристик отдельных зерен, с другой — наличием так называемых воспламенительного периода и периода догорания. Поэтому в случае зерненных образцов используется стабильность такой геометрической характеристики, как толщина горящего свода. Развитый на этой основе метод обработки кривых давления [1] предполагает известной форму зависимости скорости горения от давления (в области высоких давлений наиболее употребителен линейный закон горения).

В данной работе излагается методика определения закона горения, сочетающая преимущества интегрального [1] и дифференциального [2] подходов.

Будем считать, что воспламенитель к моменту начала воспламенительного периода

основного заряда полностью сгорел. Калорическое уравнение состояния продуктов горения воспламенителя и исследуемого образца возьмем в виде, предложенном Дюпре [3]:

$$\varepsilon_i = \frac{1}{\theta_i} p \left(\frac{1}{\rho_i^0} - b_i \right), \quad i = 1, 2,$$

где ε_i — внутренняя энергия единицы массы газа; p — давление; ρ_i^0 — истинная плотность; b_i — коволюм; $\theta_i = c_{p,i}/c_{v,i} - 1$, $c_{p,i}$, $c_{v,i}$ — удельные теплоемкости при постоянном давлении и объеме соответственно; индекс 1 относится к воспламенителю, 2 — к исследуемому составу.

При выборе воспламенителя руководствуются требованием отсутствия химического взаимодействия продуктов горения воспламенителя и исследуемого состава. Проще всего удовлетворить этому требованию, взяв в качестве воспламенителя то же топливо, но достаточно измельченное. Считая указанное требование выполненным, можно показать, что газовая смесь продуктов горения также будет подчиняться уравнению состояния Дюпре с постоянными, определяемыми по формулам

$$b = \frac{\Delta_1 b_1 + \psi \Delta_2 b_2}{\Delta_1 + \psi \Delta_2},$$

$$\theta = \left(\frac{\Delta_1}{M_1} + \frac{\psi \Delta_2}{M_2} \right) / \left(\frac{\Delta_1}{M_1 \theta_1} + \frac{\psi \Delta_2}{M_2 \theta_2} \right),$$

где Δ_i — плотность заряжания, ψ — доля сгоревшего исследуемого топлива, M_i — молярная масса.

Пренебрегая влиянием теплоотдачи, из закона сохранения энергии имеем

$$p = \frac{\theta(\Delta_1 f_1 / \theta_1 + \psi \Delta_2 f_2 / \theta_2)}{1 - \Delta_2(1 - \psi)/\delta - b(\Delta_1 + \psi \Delta_2)}, \quad (1)$$

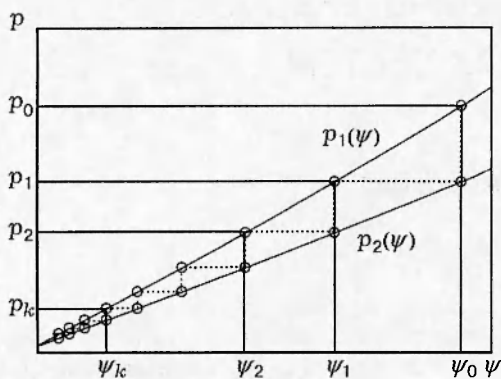


Рис. 1. Зависимость давления от степени выгорания в двух опытах

где δ — истинная плотность исследуемого топлива, f_i — сила пороха соответствующего компонента заряда.

Для дальнейшего изложения учет теплоподачи не имеет принципиального значения, а важен лишь сам факт существования функциональной связи между текущим значением давления и степенью выгорания. При этом вид зависимости (1) может меняться от опыта к опыту, возможно и табличное задание зависимости. Отметим лишь, что в [1, 2] приведены данные о несущественном влиянии теплоподачи при определении зависимости скорости горения от давления.

Зарегистрированная в эксперименте зависимость $p(t)$ и наличие связи типа (1) позволяют определить функцию $\psi(t)$, а следовательно, и ее производную. С другой стороны, при произвольном законе горения вида $u = u(p)$ (u — линейная скорость горения) уравнение для скорости изменения доли сгоревшего топлива можно представить в виде [1]

$$\frac{d\psi}{dt} = \frac{S_1}{V_1} \sigma(\psi) u(p), \quad (2)$$

где в случае однородного зерненного заряда S_1 — начальная поверхность зерна, V_1 — начальный объем зерна, $\sigma(\psi)$ — отношение текущей горящей поверхности к S_1 . В практических случаях S_1 , V_1 являются осредненными характеристиками заряда, зависящими, начиная с некоторой минимальной навески, лишь от марки пороха.

Дополнительно предполагаем, что для обрабатываемой серии экспериментов существует единая зависимость $\sigma(\psi)$. Если проведено два опыта с разными навесками, т. е. имеются

две экспериментальные зависимости $p_i(t)$, то, выбирая опыт с большей навеской за базовый, можно, используя (1), (2), получить для ряда точек на кривых $p_i(\psi)$ отношение скорости горения в текущей точке при $p = p_k$ к скорости горения при $p = p_0$ (рис. 1). Для этого следует соотношения (2) для каждого из опытов в точках $\psi = \psi_{k-1}$ разделить друг на друга. Так, для $p = p_1$ с учетом (2) имеем

$$\frac{u(p_1)}{u(p_0)} = \left. \frac{d\psi_2}{dt} \right|_{\psi=\psi_0} / \left. \frac{d\psi_1}{dt} \right|_{\psi=\psi_0}. \quad (3)$$

При большем количестве опытов с разными навесками таких соотношений будет больше, что дает возможность определить зависимость скорости горения от давления с точностью до множителя в виде

$$u = u_1 g(p), \quad u_1 = \text{const}. \quad (4)$$

Пусть навеска пороха состоит из N зерен, имеющих индивидуальную толщину горящего свода $2e_{1,n}$ ($n = 1, \dots, N$). Тогда для толщины выгорания n -го зерна можно записать

$$\frac{de_n}{dt} = u_1 g(p), \quad n = 1, \dots, N. \quad (5)$$

Интегрируя уравнения (5) от момента воспламенения $t = 0$ до конца горения $t = t_k$ и суммируя полученные интегралы, запишем

$$e_1 = \frac{1}{N} \sum_{n=1}^N e_{1,n} = u_1 \int_0^{t_k} g(p) dt = u_1 I_k,$$

где e_1 — средняя полутолщина горящего свода в данной навеске. Для импульса давления I_k с учетом воспламенительного периода и периода догорания можно записать формулу

$$I_k = \int_0^{t_0} \chi_0 g(p) dt + \int_{t_0}^{t_{k,0}} g(p) dt + \int_{t_{k,0}}^{t_k} \chi_k g(p) dt, \quad (6)$$

где t_0 — момент окончания воспламенительного периода; $t_{k,0}$ — момент начала периода догорания (уменьшения количества зерен); $\chi_0(t)$ — доля горящих к данному моменту зерен; $\chi_k(t)$ — доля несгоревших к данному моменту зерен.

Введем аналог удельной интенсивности газообразования [1]:

$$\Gamma = \frac{1}{g(p)} \frac{d\psi}{dt} = u_1 \frac{S_1}{V_1} \sigma(\psi). \quad (7)$$

Естественно предположить, что момент t_0 соответствует первому максимуму или резкому изменению темпа нарастания кривой $\Gamma(\psi)$.

Состав	Количество опытов в серии	Линейный закон		ν
		u_1 , мм/(бар · с)	u_1 , мм/(бар $^\nu$ · с)	
1	11	0,0842	0,108	0,96
2	8	0,2040	0,105	1,10
3	3	0,0959	0,612	0,70

Если на кривой $\Gamma(t)$ или $\Gamma(\psi)$ имеется хорошо выраженная точка, начиная с которой реализуется заметное изменение темпа падения, то это время следует принять за $t_{k,0}$, в противном случае $t_{k,0}$ можно определять из условия

$$\psi(t_{k,0}) = 1 - k\psi(t_0), \quad (8)$$

где k — постоянная, выбираемая из условия $1 \leq k \leq 2$.

Исходя из структуры уравнения (7) для χ_0 , χ_k в формуле (6) использованы зависимости $\chi_0(t) = \Gamma(t)/\Gamma(t_0)$, $\chi_k(t) = \Gamma(t)/\Gamma(t_{k,0})$. В случае линейного закона горения при пренебрежении воспламенительным периодом и периодом догорания значения I_k , Γ будут совпадать с введенными в [1] полным импульсом давления пороха и удельной интенсивностью газообразования.

Окончательно имеем закон горения в виде (4), при этом $u_1 = e_1/I_k$, где e_1 находится непосредственным обмером достаточно большого количества зерен.

Правомерность использования описанной методики для конкретной серии опытов можно проверить следующим образом. Находя отношения, стоящие в правой части уравнения (3), но при $p = \text{idem}$, можно аналогичным образом установить с точностью до множителя вид функции $\sigma(\psi)$, а также отклонения от этой зависимости в каждом опыте. Этой информации достаточно для определения диапазона значений ψ , в котором методика будет работоспособна, и для отбраковки опытов, не удовлетворяющих сформулированным выше требованиям.

Эксперименты проводили в манометрических бомбах объемом 180 и 365 мл. Давление измерялось пьезодатчиком Т6000, сигнал с которого после усиления тензостанцией Нейва-2К регистрировался 10-разрядным аналого-цифровым преобразователем АЦП-600 с частотой 1 МГц.

Полученная экспериментальная кривая $p(t)$ сглаживалась кубическими сплайнами [4]. При этом минимизировалась сумма квадратов отклонений от аппроксимирующей кри-

вой и интеграла от квадрата второй производной, причем весовые коэффициенты выбирали из условия, чтобы наибольшие отклонения экспериментальных значений от аппроксимирующей функции не превосходили по модулю некоторой наперед известной величины — погрешности измерений, определяемой характеристиками датчика и регистрирующей аппаратуры. Средняя толщина горящего свода определялась непосредственными измерениями партии 100–150 зерен с помощью инструментального микроскопа.

В приведенных ниже случаях в качестве $g(p)$ в (4) выбирали степенную функцию, поэтому оказалось удобным использовать логарифмические координаты и стандартные методы линейного регрессионного анализа.

Экспериментальная проверка методики проведена для трех составов. Сила пороха и коволюм определялись аналогично [1]. Результаты обработки по данной методике и методике [1], модифицированной вышеописанным образом на этапе расчета полного импульса давлений, показаны в таблице. На рис. 2 для состава 1 точками нанесены определенные по описан-

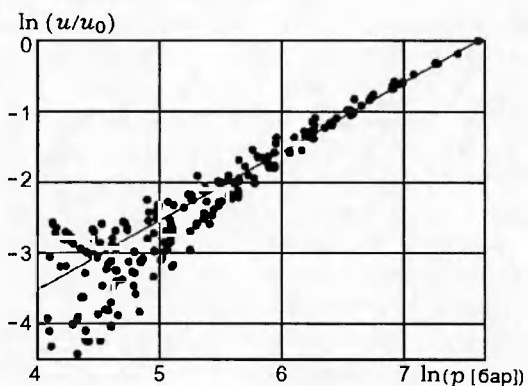


Рис. 2. Зависимость относительной скорости горения состава 1 от давления:

точки — эксперимент, сплошная линия — линия регрессии

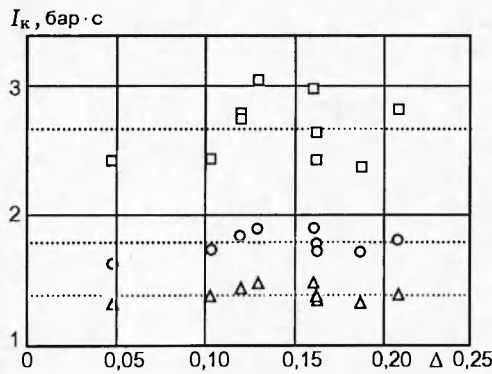


Рис. 3. Зависимость I_k состава 1 от плотности заряжания:

□ — без учета воспламенительного периода и периода догорания, $\nu = 1$; ○, △ — с учетом воспламенительного периода и периода догорания, $\nu = 1$ (○), 0,96 (△); пунктирующие линии — средние значения

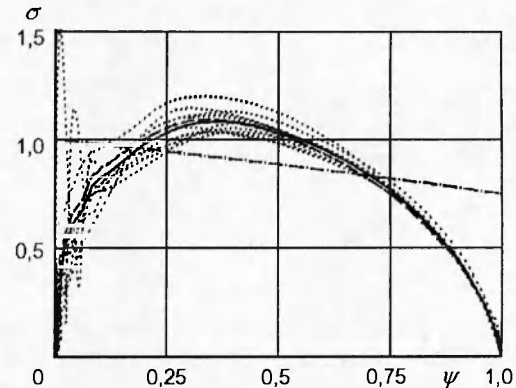


Рис. 4. Зависимость $\sigma(\psi)$ для состава 1:

пунктирная линия — в отдельных экспериментах при $\nu = 0,96$; сплошная — средняя для серии экспериментов при $\nu = 0,96$, штриховая — при $\nu = 1$; штрихпунктирная — геометрический закон

ной методике значения $\ln p(u/u_0)$ в зависимости от $\ln p$, где u_0 — скорость горения на правой границе исследованного диапазона давлений. Большой разброс экспериментальных значений при $p < 403$ бар ($\ln p < 6$) объясняется последствиями воспламенительного периода, но несмотря на это угол наклона линии регрессии, т. е. значение показателя степени ν , определяется достаточно надежно.

На рис. 3 для этого же состава показаны значения полного импульса давления, определенные без учета и с учетом воспламенительного периода и периода догорания для линейного закона горения, а также для степенного закона с найденным показателем степени. Следует заметить, что использование формулы (6) для I_k позволяет в 1,5–2 раза уменьшить разброс значений I_k от опыта к опыту по сравнению с предлагаемым в [1] способом даже при линейном законе горения. Это легко объясняется учетом реального хода воспламенения и догорания заряда. Видно также, что модифицированное значение I_k практически не зависит от плотности заряжания, что служит подтверждением истинности найденного закона горения. Для всех составов моменты t_0 , $t_{k,0}$ определяли из условий $\psi = 0,1$ и $\psi = 0,8$ соответственно. Вариации вокруг этих значений в пределах 10 % приводили к изменениям I_k , не превышающим 2–5 %.

На рис. 4, 5 показаны осредненные по соответствующим сериям экспериментов зависимости $\sigma(\psi)$, найденные из (2) после установления

закона горения. При этом S_1 и V_1 для каждого состава определяли по результатам измерений партии из 100–150 зерен с помощью инструментального микроскопа. Сплошная кривая соответствует степенному закону, пунктирная — линейному, штрихпунктирная — геометрическому закону [1].

Для оценки воспроизводимости зависимости $\sigma(\psi)$ для состава 1 на рис. 4 показан реализующиеся в каждом опыте зависимости $\sigma(\psi)$, получающиеся при использовании степенного закона. Видно хорошее совпадение результатов за исключением участка $\psi < 0,1$. Этот участок, с одной стороны, соответствует воспламенительному периоду, с другой — здесь наиболее сильно сказываются погрешности измерения давления из-за его небольшого значения. При использовании линейного закона разброс значений σ от опыта к опыту увеличивается в 2,5 раза, что также свидетельствует в пользу степенного закона горения.

Результаты для состава 3 в этом плане наиболее показательны (см. рис. 5, б). Для этого состава применение линейного закона приводит к отсутствию периода возрастания поверхности горения (немонотонность хода кривой при малых ψ объясняется малым количеством опытов в серии). Наблюдаемое для всех составов превышение значений σ над геометрическим законом вызвано неучетом неправильной формы зерен, так как поверхность S_1 рассчитывали для канонического зерна.

Таким образом, в работе предложена но-

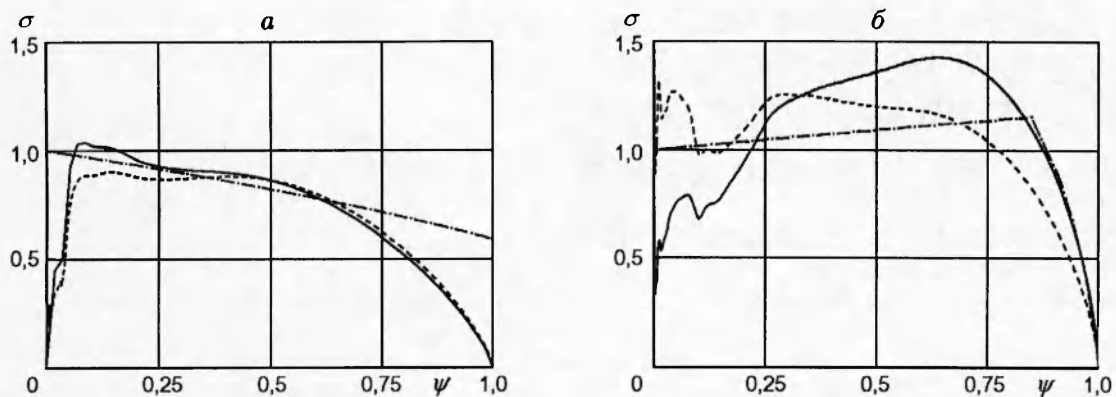


Рис. 5. Средняя (для серии экспериментов) зависимость $\sigma(\psi)$: сплошная линия — $\nu \neq 1$, штриховая — $\nu = 1$, штрихпунктирная — геометрический закон; *a* — состав 2, *б* — состав 3

вая экспериментальная методика определения законов горения и газообразования зерненных образцов твердых топлив на основе манометрических испытаний.

Работа выполнена при поддержке Российского фонда фундаментальных исследований (код проекта 97-01-00792).

ЛИТЕРАТУРА

- Серебряков М. Е. Внутренняя баллистика ствольных систем и пороховых ракет. М.: Оборонгиз, 1962.
- Аксенов В. С., Леонов Г. Н., Любимов А. В. и др. Дифференциальный метод измерения скорости горения конденсированных систем в манометрической камере // Физика горения и взрыва. 1979. Т. 15, № 2. С. 103–107.
- Газодинамические основы внутренней баллистики / С. А. Бетехтин, А. М. Виницкий и др. М.: Оборонгиз, 1957.
- Марчук Г. И. Методы вычислительной математики. М.: Наука, 1977.

Поступила в редакцию 16/XII 1997 г.